



Corso di Robotica 1

Controllo cinematico Controllo dinamico di un singolo asse

Prof. Alessandro De Luca

DIPARTIMENTO DI INFORMATICA
E SISTEMISTICA ANTONIO RUBERTI



SAPIENZA
UNIVERSITÀ DI ROMA



Controllo del moto

- si vuole realizzare “effettivamente” un moto desiderato ...
 - regolazione di posizione (riferimento costante)
 - inseguimento di traiettoria (riferimento variabile)
- ... nonostante la presenza di
 - disturbi
 - perturbazioni e incertezze sui parametri del robot
 - errori iniziali (o che subentrano a causa di disturbi)
- schema di controllo misto
 - **feedback** (misurando lo stato interno del robot)
 - **feedforward** (sono i comandi nominali pianificati)
- l'**errore** può essere definito nello spazio **cartesiano** o **dei giunti**, il comando finale è sempre a livello dei giunti
 - dove i motori azionano la struttura robotica



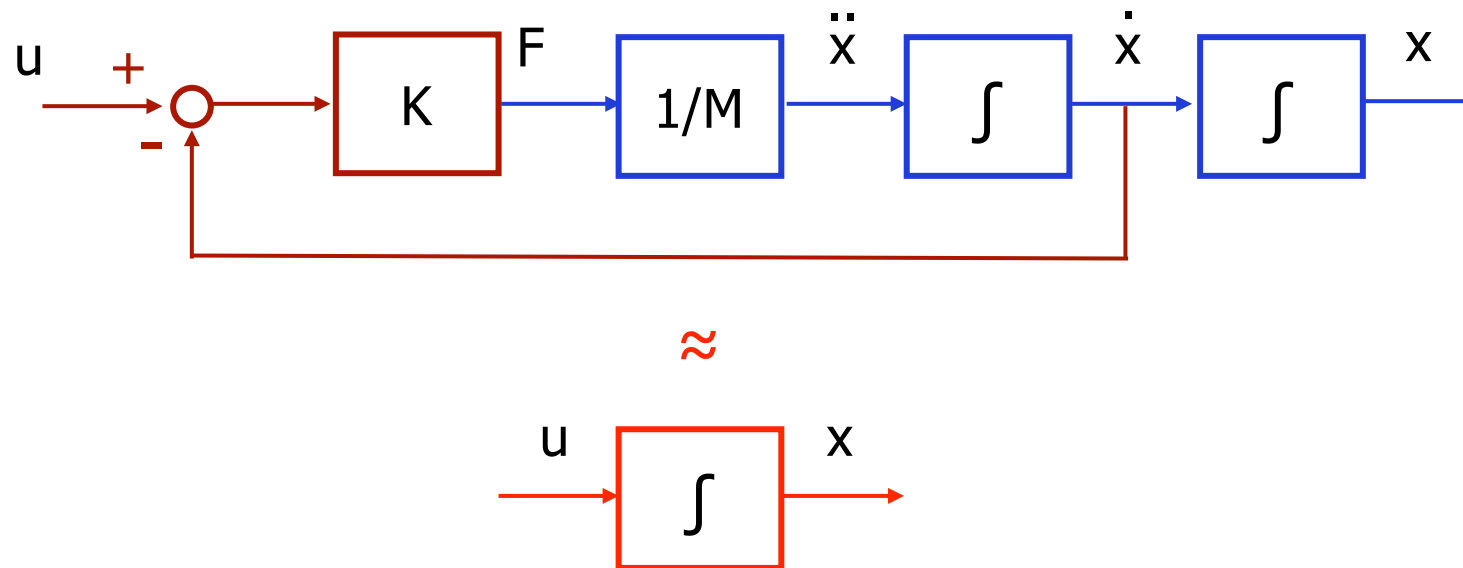
Controllo cinematico

- un robot è un sistema dinamico elettro-meccanico comandato con **coppie** motrici fornite dai motori
- è possibile però considerare come ingresso al sistema un comando cinematico, tipicamente di **velocità**
- ciò avviene grazie alla presenza di un **anello di controllo di basso livello**, che impone "idealmente" qualsiasi velocità di riferimento comandata
- tale anello è già presente in una struttura "chiusa" di controllo, in cui l'utente può agire solo con comandi di tipo cinematico
- le prestazioni sono in genere soddisfacenti se non si richiedono movimenti troppo veloci e/o con brusche accelerazioni



Esempio elementare

- una massa M in moto lineare: $M \ddot{x} = F$
- anello di basso livello: $F = K(u - \dot{x})$, con u = velocità di riferimento
- schema risultante per $K \rightarrow \infty$: $\dot{x} \approx u$
- in pratica, valido in una "banda passante" limitata $\omega \leq K/M$

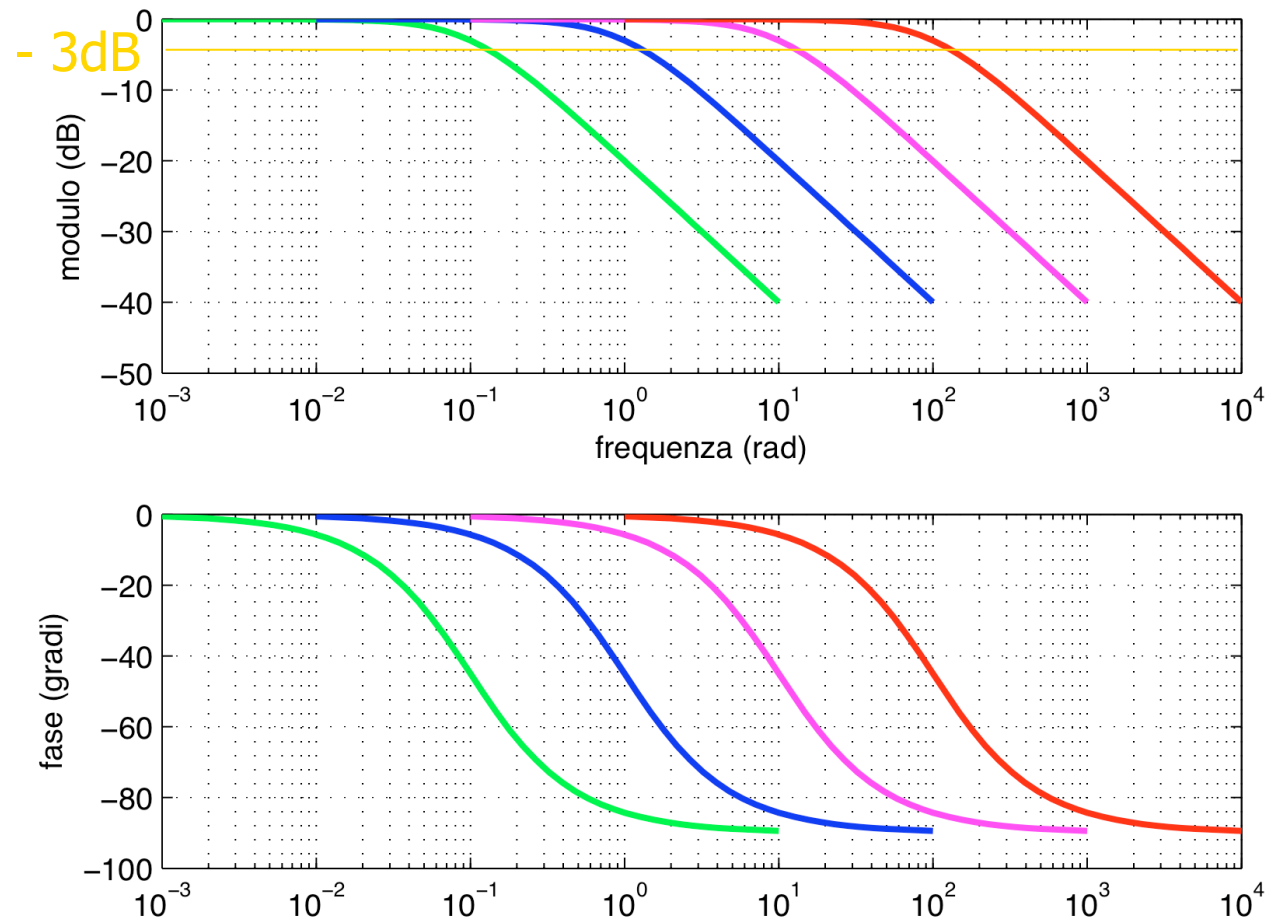




Risposta in frequenza

- diagrammi di Bode di $sx(s)/u(s)$ per $K/M = 0.1, 1, 10, 100$

velocità
attuale
 \dot{x}
 u
velocità di
riferimento
comandata



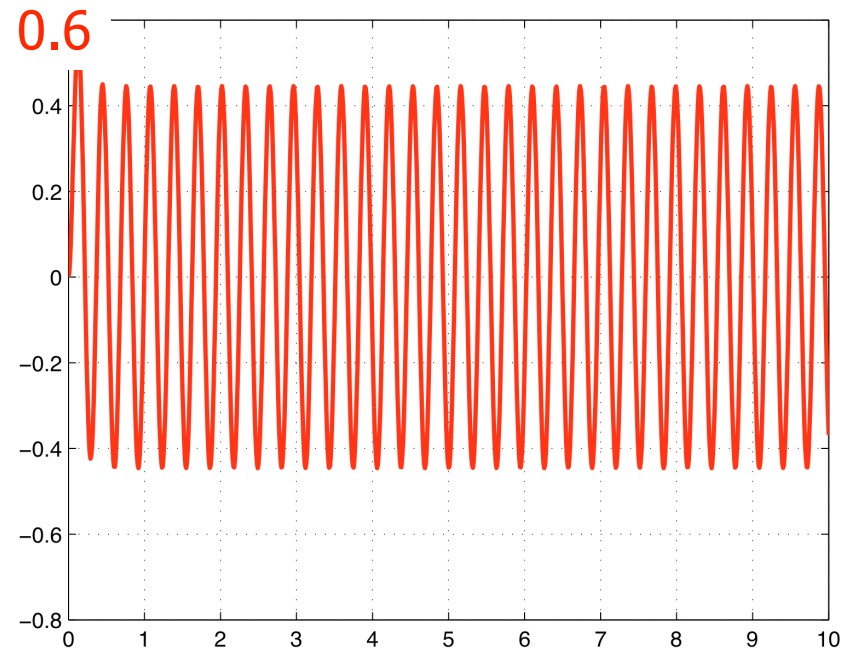


Risposta nel tempo

- con $K/M = 10$ (banda passante), in risposta a ingressi di riferimento in velocità sinusoidali unitari a diverse ω



$\omega = 2$ rad/s



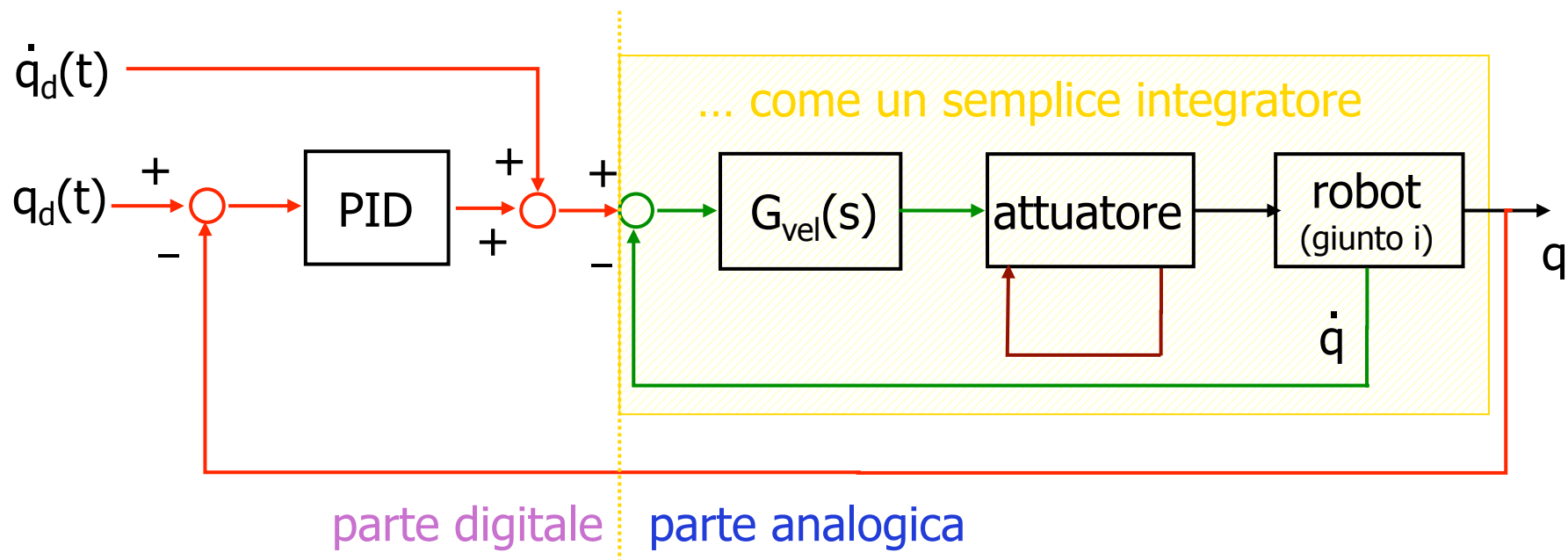
$\omega = 20$ rad/s

velocità attuali



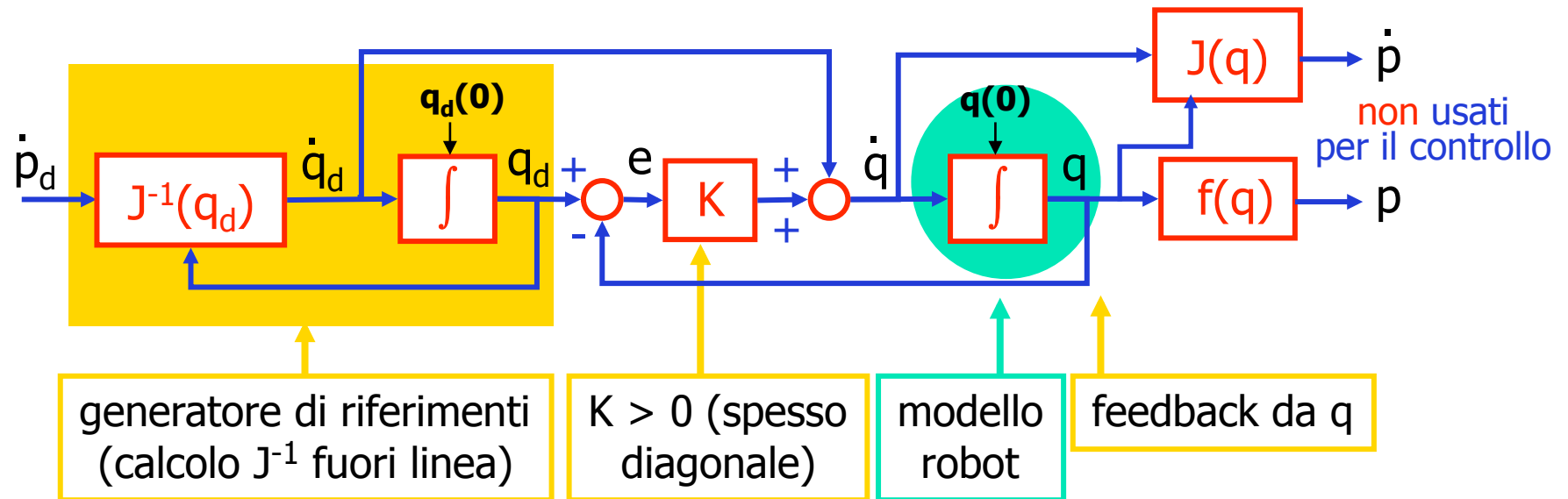
Anelli di controllo nei robot industriali

- un loop **analogico** ad ampia banda passante sulla **corrente** (∞ coppia) del motore
- un loop **analogico** di **velocità** ($G_{vel}(s)$, tipicamente un PI)
- un loop **digitale** di **posizione**, con feedforward
- sono schemi locali ai giunti (controllo **decentralizzato**)





Controllo cinematico nei giunti



$$e = q_d - q \quad \Rightarrow \quad \dot{e} = \dot{q}_d - \dot{q} = \dot{q}_d - (\dot{q}_d + K(q_d - q)) = -K e$$

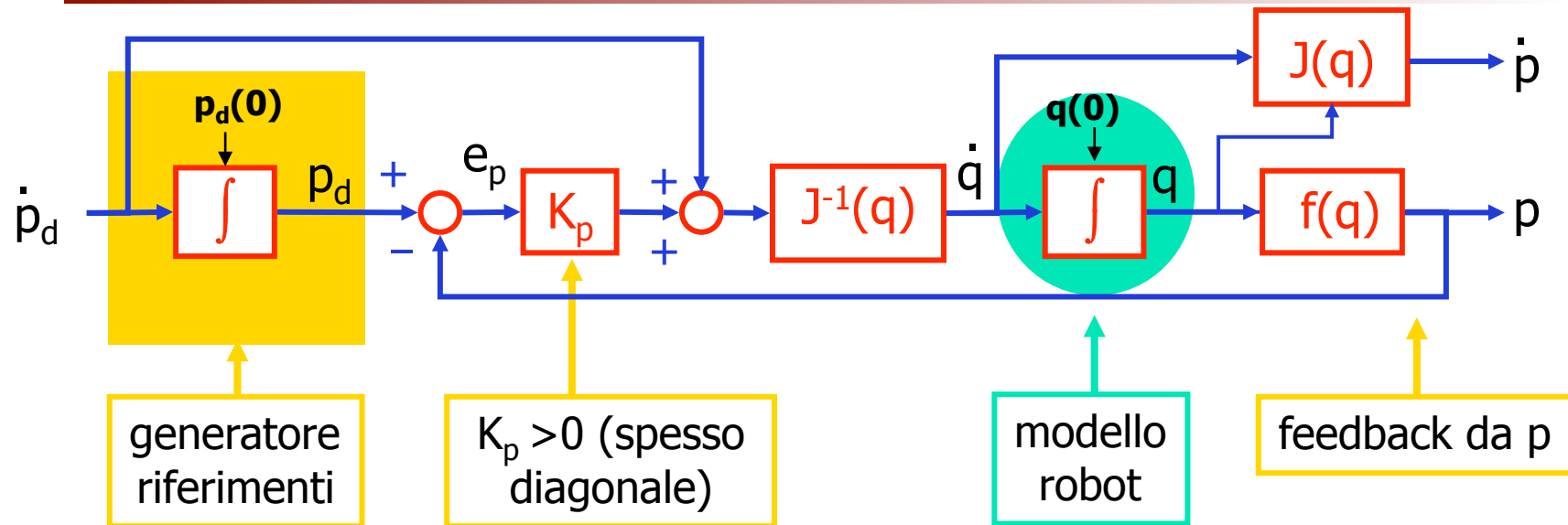
$e_i \rightarrow 0$ ($i=1, \dots, n$)
esponenzialmente
 $\forall e(0)$

$$e_p = p_d - p \quad \Rightarrow \quad \dot{e}_p = \dot{p}_d - \dot{p} = J(q_d)\dot{q}_d - J(q)(\dot{q}_d + K(q_d - q))$$

$q \rightarrow q_d$	➔	$\dot{e}_p \approx -J(q)K J^{-1}(q) e_p$
$e_p \rightarrow J(q)e$		



Controllo cinematico nel cartesiano



$$e_p = p_d - p \quad \rightarrow \quad \dot{e}_p = \dot{p}_d - \dot{p} = \dot{p}_d - J(q) J^{-1}(q) (\dot{p}_d + K_p(p_d - p)) = -K_p e_p$$

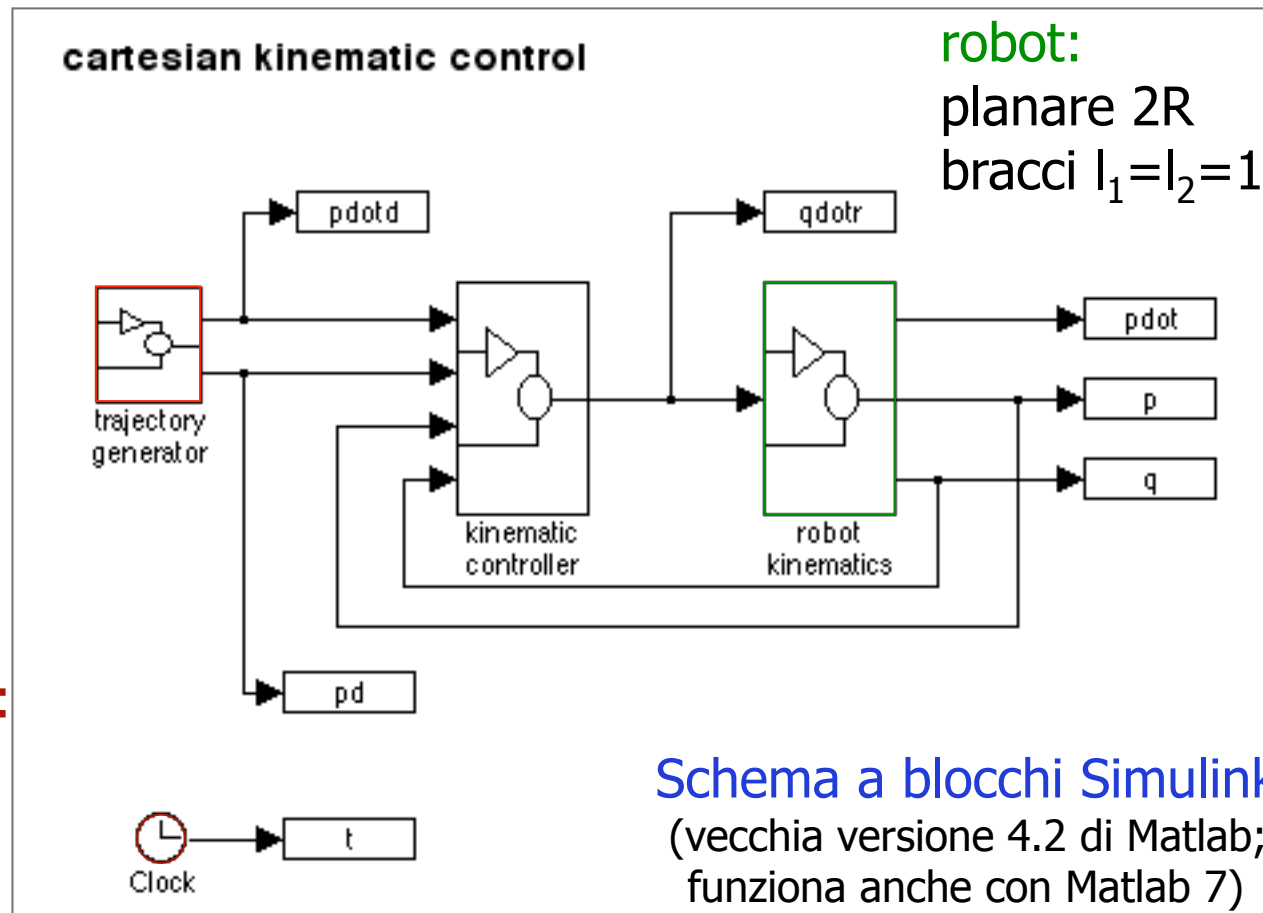
- $e_{p,i} \rightarrow 0$ ($i=1, \dots, m$) esponenzialmente $\forall e_p(0)$
- richiede il calcolo in linea di $J^{-1}(q)$
- problemi di calcolo in real-time + singolarità



Simulazione del controllore

traiettoria desiderata:
cammino rettilineo a velocità costante

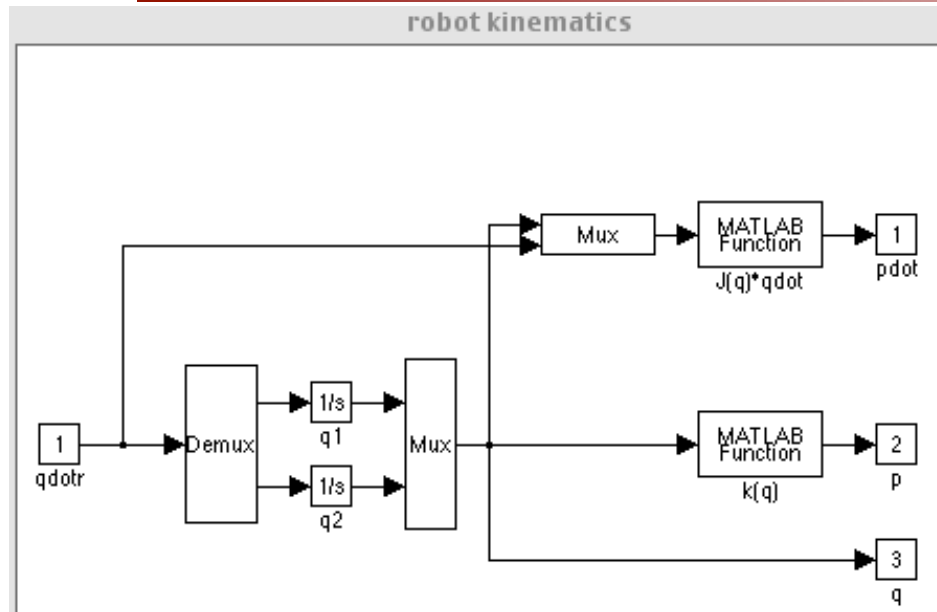
integrazione:
Runge-Kutta
passo fisso
1 msec



Schema a blocchi Simulink
(vecchia versione 4.2 di Matlab;
funziona anche con Matlab 7)



Blocchi Simulink



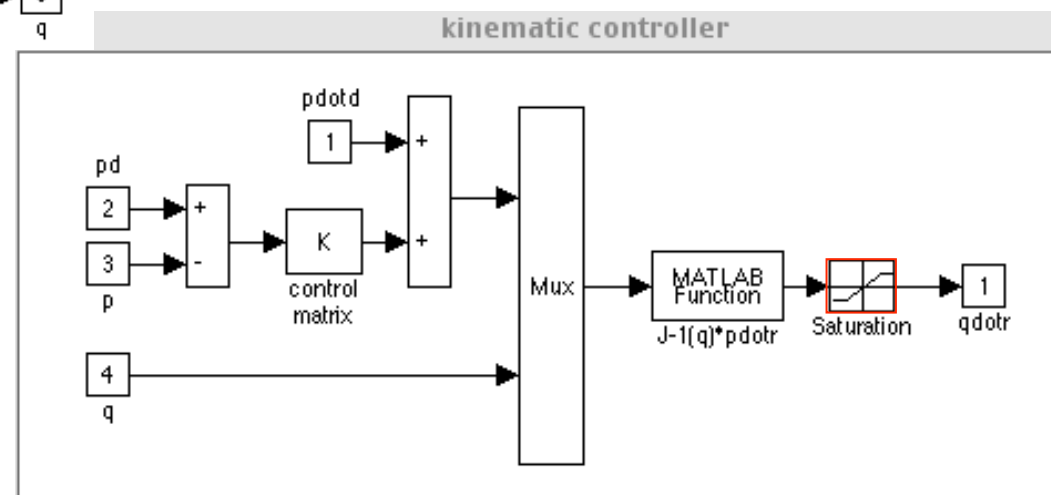
chiamate a funzioni Matlab

$$k(q) = \text{dirkin} (\text{utente})$$

$$J(q) = \text{jac} (\text{utente})$$

$$J^{-1}(q) = \text{inv}(\text{jac}) (\text{libreria})$$

- blocco di **saturazione** sui comandi di velocità ai giunti
- **inizializzazione esterna** dei dati cinematici, di traiettoria e di stato iniziale





Funzioni Matlab

dirkin.m

```
function [p] = dirkin(q)

global l1 l2

px=l1*cos(q(1))+l2*cos(q(1)+q(2));
py=l1*sin(q(1))+l2*sin(q(1)+q(2));
```

jac.m

```
function [J] = jac(q)

global l1 l2

J(1,1)=-l1*sin(q(1))-l2*sin(q(1)+q(2))
J(1,2)=-l2*sin(q(1)+q(2));
J(2,1)=l1*cos(q(1))+l2*cos(q(1)+q(2));
J(2,2)=l2*cos(q(1)+q(2));
```

init.m

```
% controllo cartesiano di un robot 2R
% initialization

clear all; close all
global l1 l2

% lunghezze bracci robot 2R

l1=1; l2=1;

% velocità cartesiana desiderata (costante)

vxd=0; vyd=0.5;

% tempo totale

T=2;

% configurazione desiderata iniziale

q1d0=-45*pi/180; q2d0=135*pi/180;

pd0=dirkin([q1d0 q2d0]');
pxd0=pd0(1); pyd0=pd0(2);

% configurazione attuale del robot

q10=-45*pi/180; q20=90*pi/180;

p0=dirkin([q10 q20]');

% matrice dei guadagni cartesiani

K=[20 20]; K=diag(K);

% saturazioni di velocità ai giunti (input in deg/sec, convertito in rad/sec)

vmax1=120*pi/180; vmax2=90*pi/180;
```

script di
inizializzazione
init.m

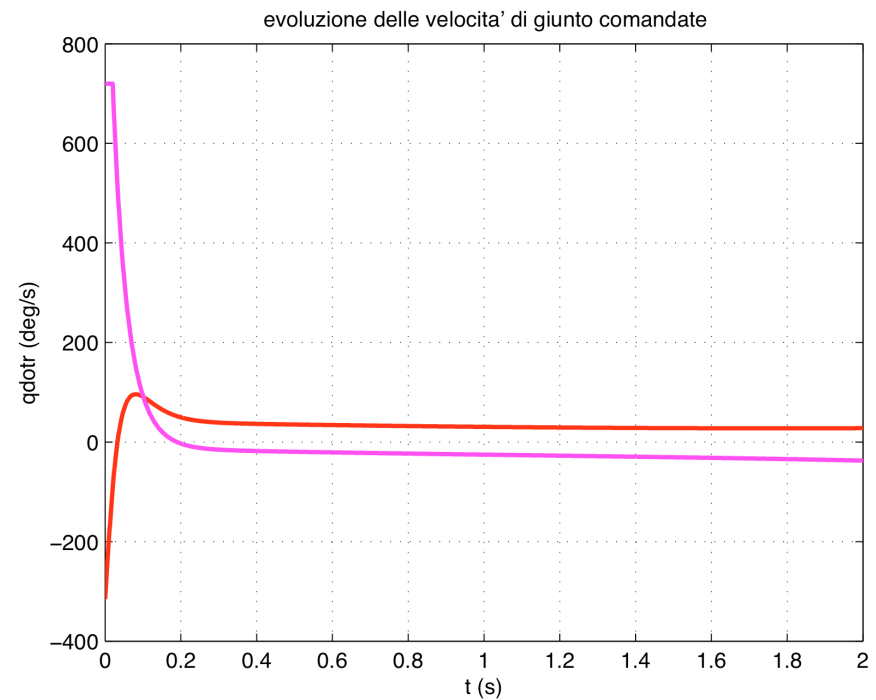
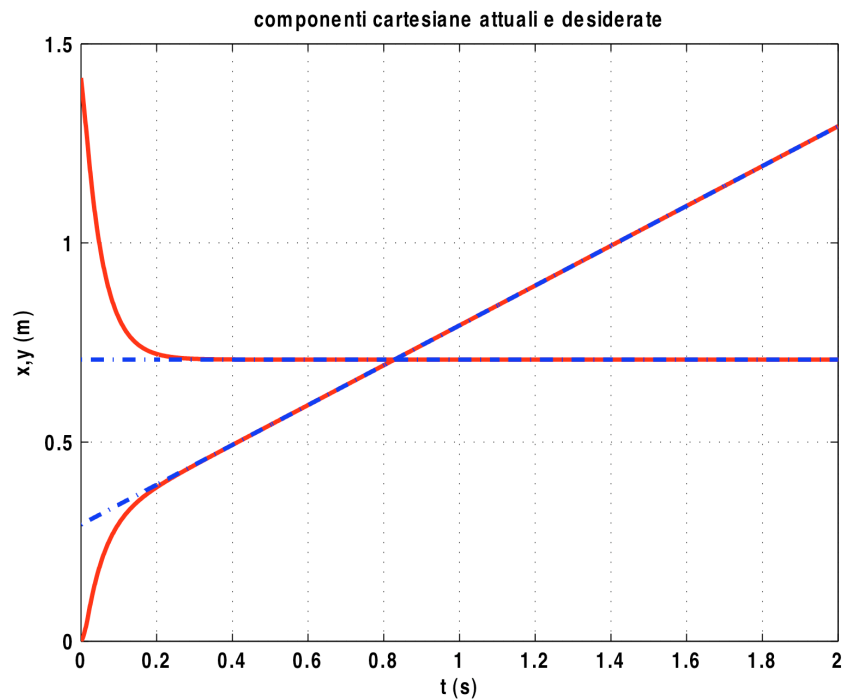


Dati simulazione

- traiettoria rettilinea uniforme
 - $x_d = 0.7$ m; $y_d(0) = 0.3$ m, $v_{y,d} = 0.5$ m/s per $T = 2$ s
- errore iniziale di posizione cartesiana dell'E-E
 - $e_p(0) = [-0.7 \ 0.3]^T$ m, con $q(0) = [-45^\circ \ 90^\circ]^T$
- guadagni di controllo
 - $K = \text{diag}\{20,20\}$
- (1) **senza** / (2) **con** saturazione velocità di giunto
 - $v_{\max,1} = 120^\circ/\text{s}$, $v_{\max,2} = 90^\circ/\text{s}$



Risultati (1)

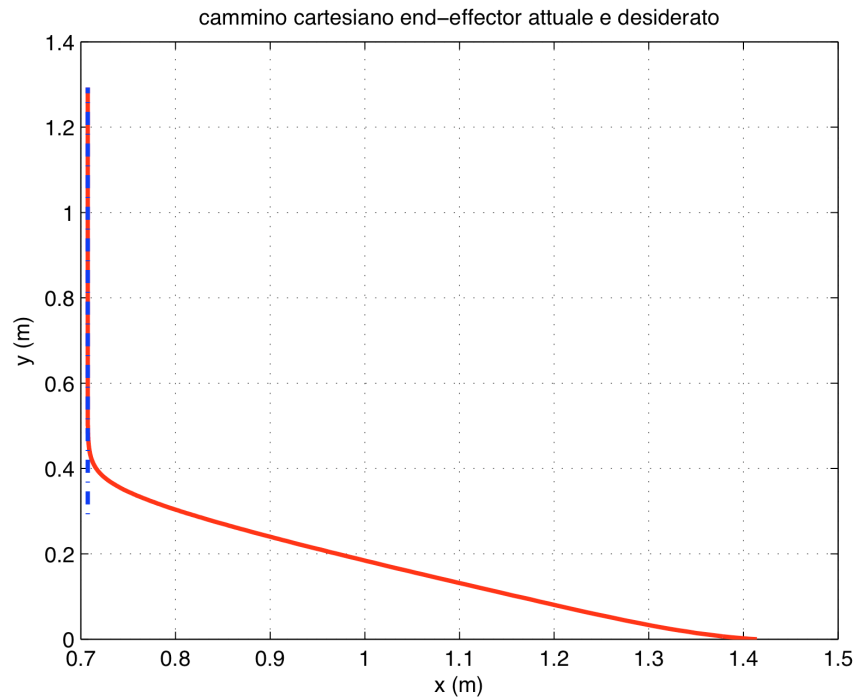


p_x, p_y **attuali** e **desiderate**

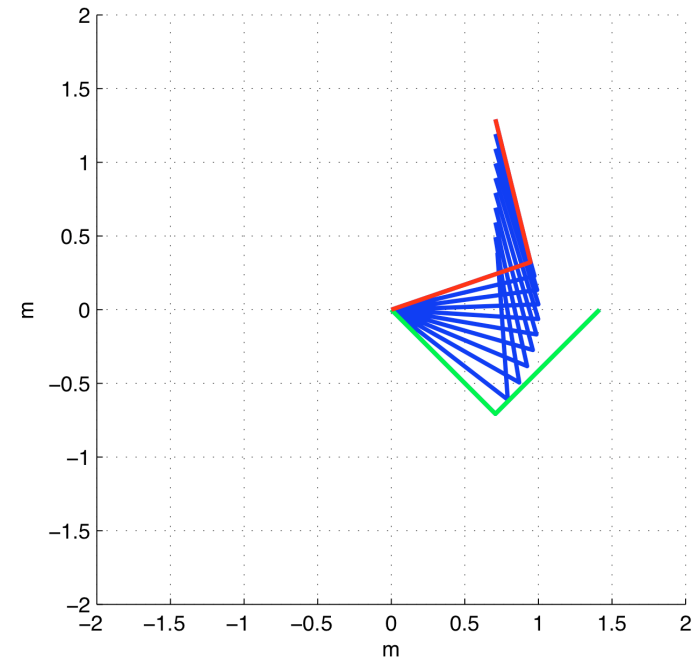
ingressi di controllo $\dot{q}_{r1}, \dot{q}_{r2}$



Risultati (1 - cont)



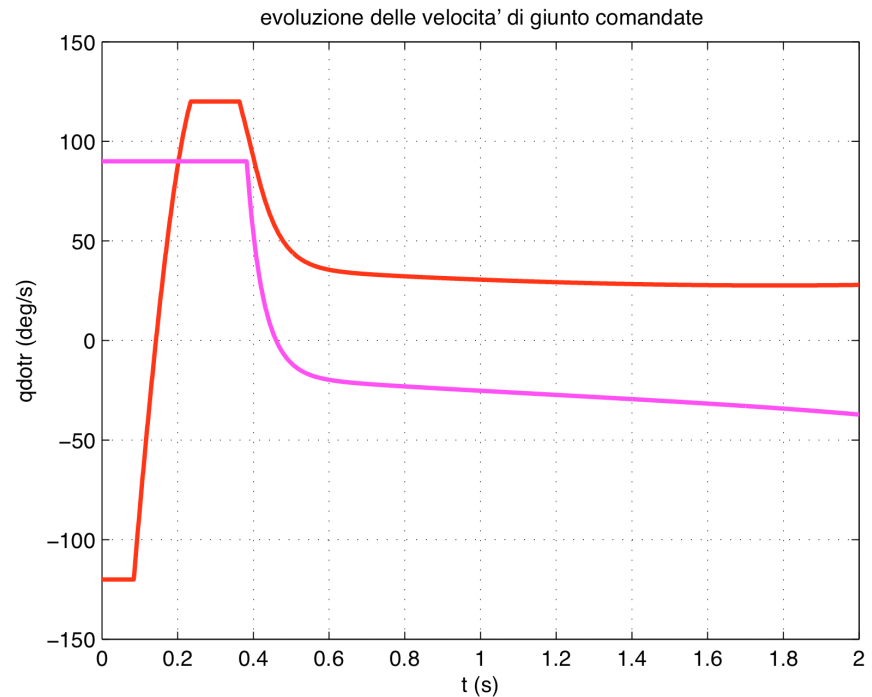
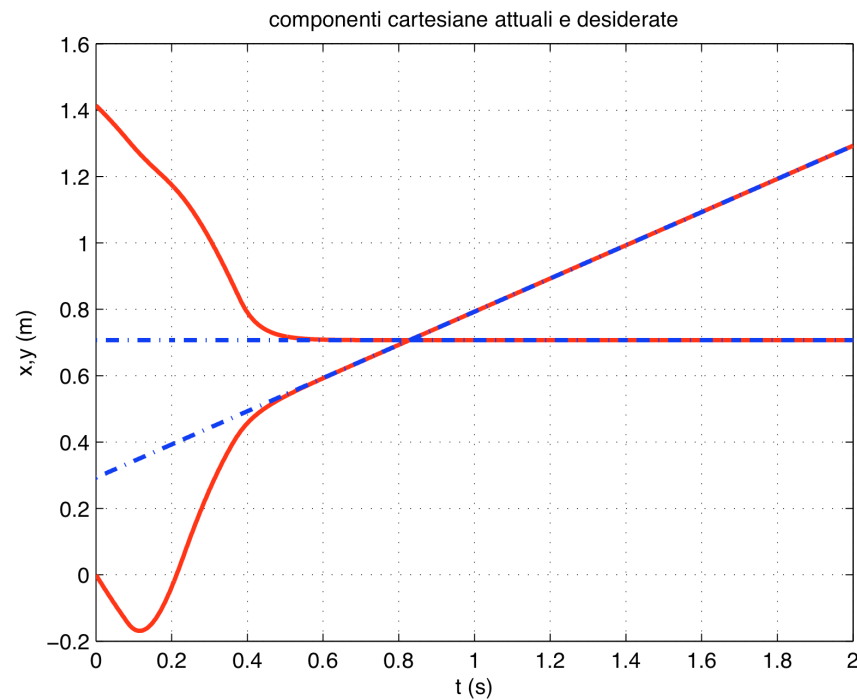
cammino eseguito
dall'organo terminale
(attuale e desiderato)



evoluzione stroboscopica
(inizio e fine)



Risultati (2)

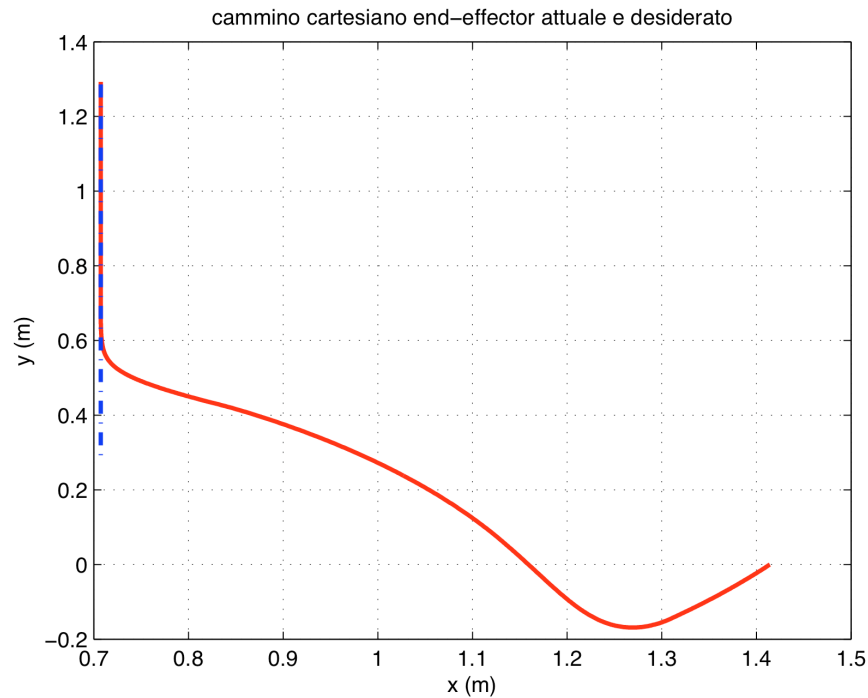


p_x, p_y **attuali** e **desiderate**

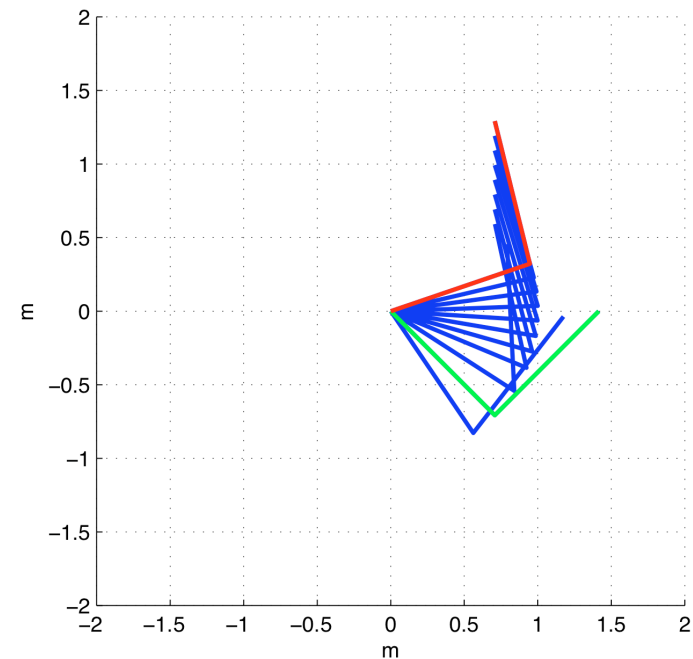
ingressi di controllo $\dot{q}_{r1}, \dot{q}_{r2}$
(saturati a $\pm v_{\max,1}, \pm v_{\max,2}$)



Risultati (2 - cont)



cammino eseguito
dall'organo terminale
(attuale e desiderato)

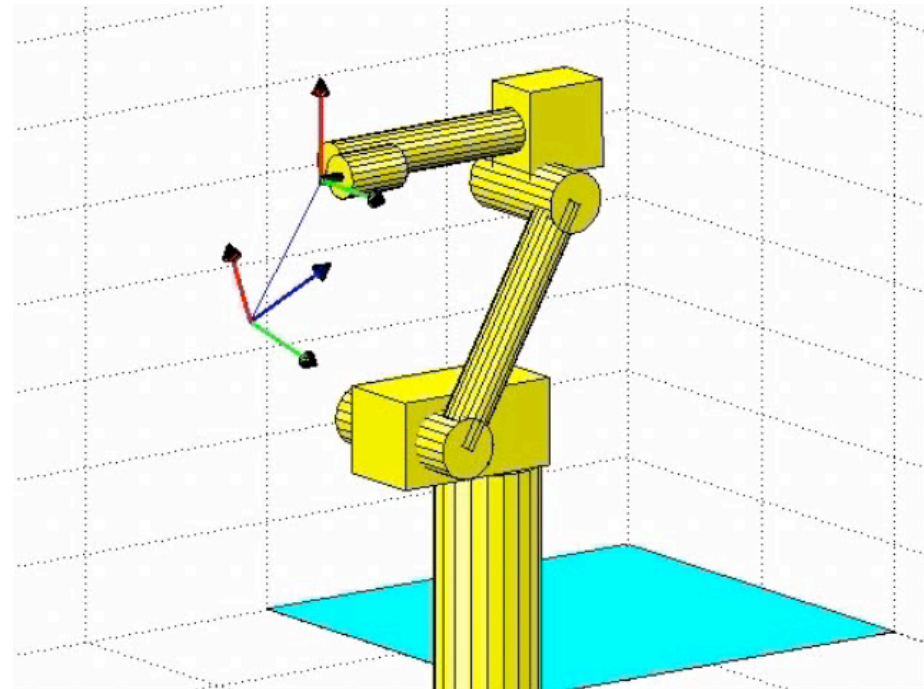
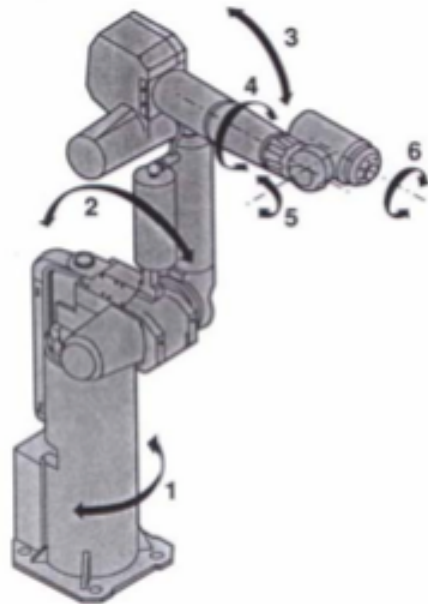


evoluzione stroboscopica
(inizio e fine)



Simulazione 3D

video



controllo cinematico nel cartesiano del robot Fanuc 6R (Arc Mate S-5)
simulazione e visualizzazione in Matlab

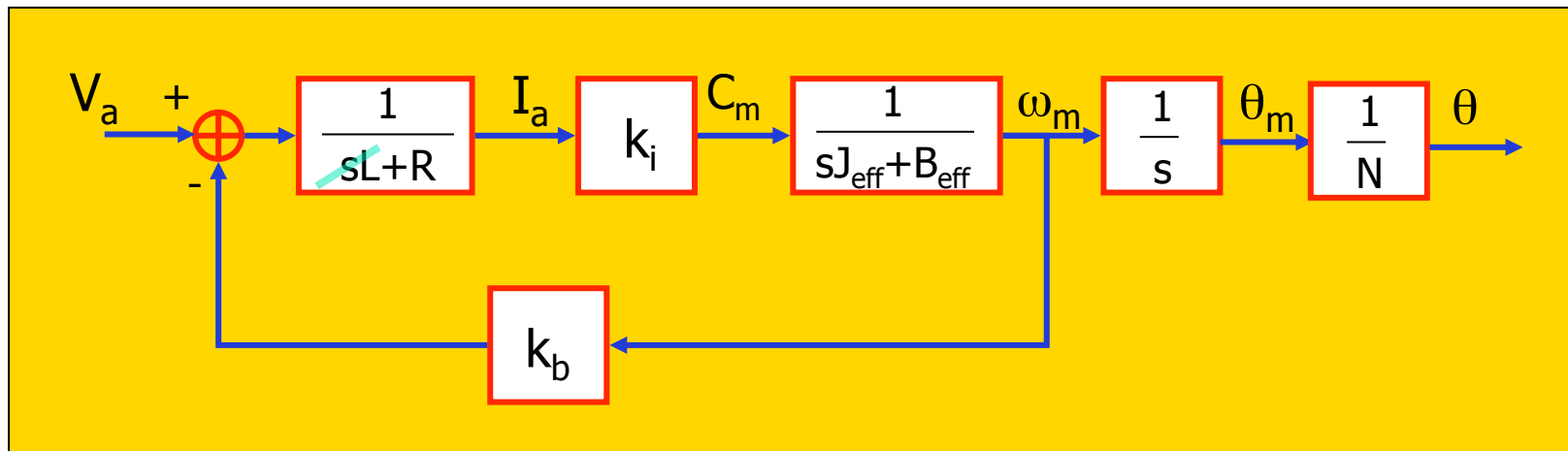
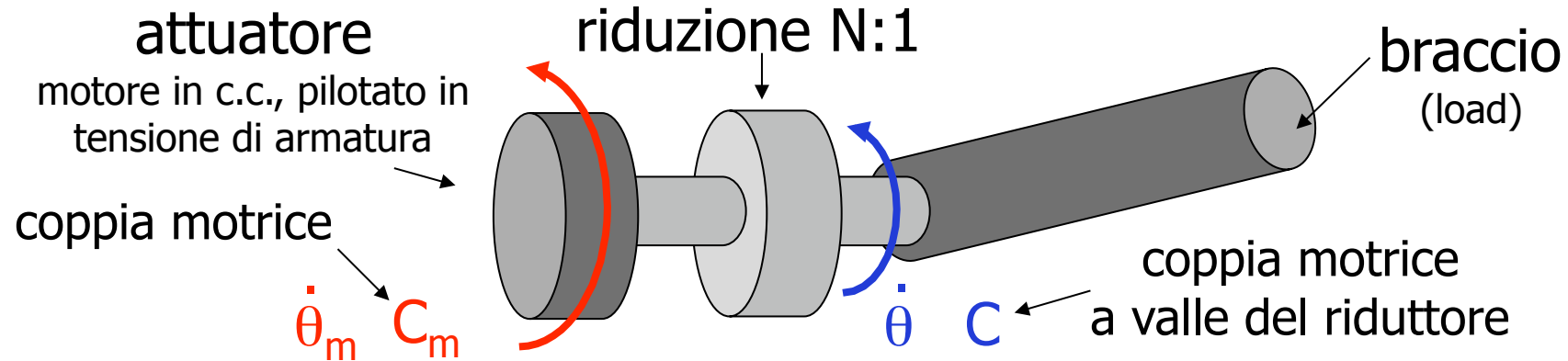


Controllo dinamico (singolo asse)

- quando gli **aspetti dinamici** del moto richiesto sono rilevanti, nel **progetto del controllore** occorre tenere conto delle masse/inerzie e di fenomeni dissipativi (attrito)
- per un robot articolato, agiscono sul singolo braccio anche coppie/forze di accoppiamento dovute al moto degli altri bracci (**inerziali, centrifughe**), al moto congiunto (**Coriolis**), e al carico statico (**gravità, forze di contatto**)
- tali accoppiamenti sono "mascherati" sulla dinamica del singolo asse di giunto/carico del motore se i **rapporti di riduzione** delle trasmissioni sono molto elevati ($N \geq 100$)
- si considera qui il progetto del controllore per un singolo giunto (approccio **decentralizzato**)



Modello singolo asse

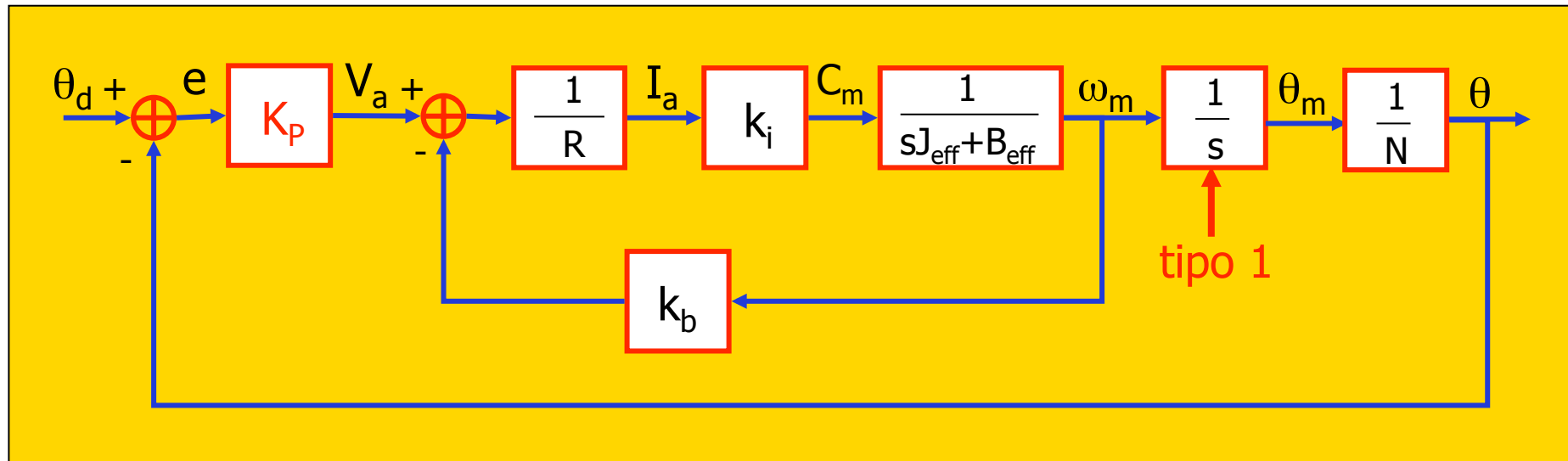


$$J_{\text{eff}} = J_m + \frac{1}{N^2} J_l \quad B_{\text{eff}} = B_m + \frac{1}{N^2} B_l$$

$\approx 10^{-4}$



Controllo proporzionale (P)



funzione di trasferimento ad anello chiuso

$$\frac{\theta(s)}{\theta_d(s)} = \frac{\theta/e}{1+\theta/e} = \frac{K_p k_i}{NR J_{\text{eff}}} \frac{1}{s^2 + \frac{R B_{\text{eff}} + k_i k_b}{R J_{\text{eff}}} s + \frac{K_p k_i}{NR J_{\text{eff}}}}$$

sempre **ASINTOTICAMENTE STABILE** per $K_p > 0$

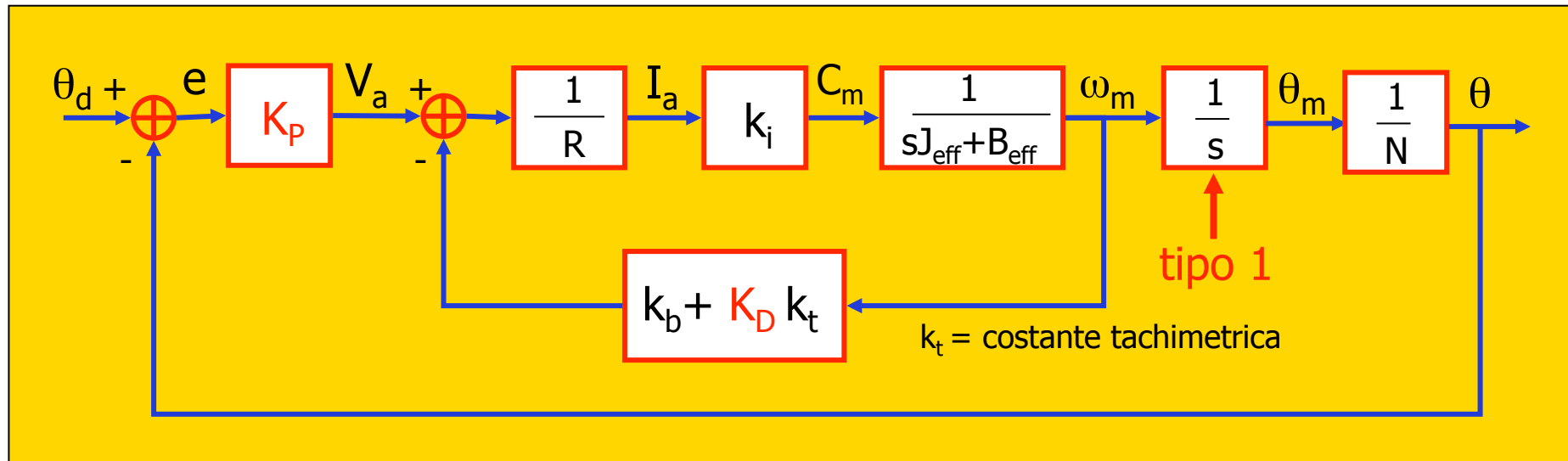


Osservazioni sul controllo P

- per $\theta_d = kost$, l'errore a regime permanente è nullo
 - il sistema è di tipo 1
 - si ha un solo parametro di progetto (K_p)
 - non possono essere fissati in modo indipendente i poli ad anello chiuso
 - in particolare, la **pulsazione naturale** e lo **smorzamento** della coppia di poli sono tra loro legate
 - la risposta transitoria e/o le caratteristiche di reiezione dei disturbi potrebbero essere insoddisfacenti
- N.B.** l'effettiva misura di posizione retroazionata può anche essere quella del motore θ_m
(dipende da dove è montato l'encoder)



Controllo proporzionale-derivativo (PD)



funzione di trasferimento ad anello chiuso

$$\frac{\theta(s)}{\theta_d(s)} = \frac{\theta/e}{1+\theta/e} = \frac{K_p k_i}{NR J_{\text{eff}}} \frac{1}{s^2 + \frac{RB_{\text{eff}} + k_i(k_b + K_D k_t)}{R J_{\text{eff}}} s + \frac{K_p k_i}{NR J_{\text{eff}}}}$$

sempre **ASINTOTICAMENTE STABILE** per $K_p, K_D > 0$



Osservazioni sul controllo PD

- per $\theta_d = k_{ost}$, $\dot{e} = -\dot{\theta}$, e lo schema precedente realizza un'azione PD sull'errore di posizione
- per $\theta_d \neq k_{ost}$, se si vuole avere un PD sull'errore e (lato carico), come riferimento andrebbe preso

$$\theta_d + \dot{\theta}_d (Nk_t K_D) / K_P$$

- K_P e K_D vengono scelti in modo da avere
 - smorzamento unitario (poli reali e coincidenti)
 - pulsazione naturale $\omega_n < \omega_r / 2$, dove ω_r è la risonanza strutturale del giunto (a motore "bloccato")
 - tale risonanza (dovuta ad elasticità di riduzione, alberi, cuscinetti) che non deve essere eccitata, nei robot industriali ha tipicamente frequenza $f_r = \omega_r / 2\pi = 4 \div 20$ Hz



Dati simulazioni

Matlab/Simulink

% Parametri di simulazione relativi al primo giunto (piantone) dello Stanford Arm

% motore (U9M4T)

$K_i = 0.043$; % costante coppia/corrente [Nm/A]
 $B_m = 0.00008092$; % coefficiente di attrito viscoso [Nm s/rad]
 $K_b = 0.04297$; % costante forza c.e.m. [V s/rad]
 $L = 0.000100$; % induttanza circuito di armatura [H], trascurabile
 $R = 1.025$; % resistenza circuito di armatura [Ohm]
 $J_a = 0.000056$; % momento inerzia tachimetrica+rotore [Nm s²/rad]

% tachimetrica (Photocircuits 030/105)

$K_t = 0.02149$; % costante tachimetrica [V s/rad]

% riduzione

$n = 0.01$; % inverso rapporto di riduzione (=1/N)

% carico

$J_l = 5$; % momento inerzia primo link [Nm s²/rad] (varia da 1.4 a 6.17)
 $B_l = 0$; % coefficiente di attrito viscoso primo link (n.d.)
 $\omega_{mr} = 25.13$; % pulsazione di risonanza (relativa a J_l nominale) [rad/s] (4 Hz)

% parametri complessivi

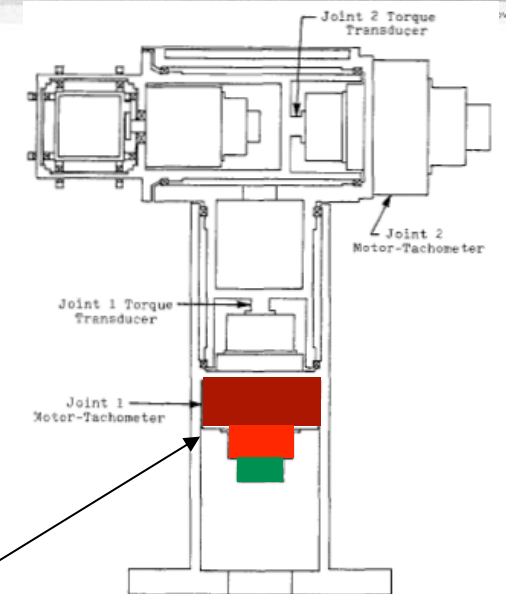
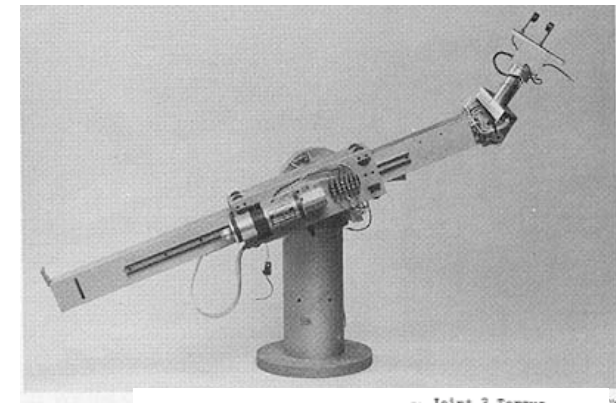
$B_{eff} = B_m + B_l * n^2$; % coefficiente di attrito viscoso effettivo
 $J_{eff} = J_a + J_l * n^2$; % momento inerzia effettivo

% riferimento

$q_{des} = 1$; % configurazione desiderata (se: costante) [rad]
 $K_{ram} = 2$; % pendenza (se: rampa) [rad/s]

% nonlineari  eventuali

$F_m = 0.042$; % coppia di attrito secco [Nm]
 $D = 0.0087$; % dead-band dovuta al backlash della riduzione [rad] (0.5 deg)
 $T_{max} = 4$; % coppia di saturazione [Nm]

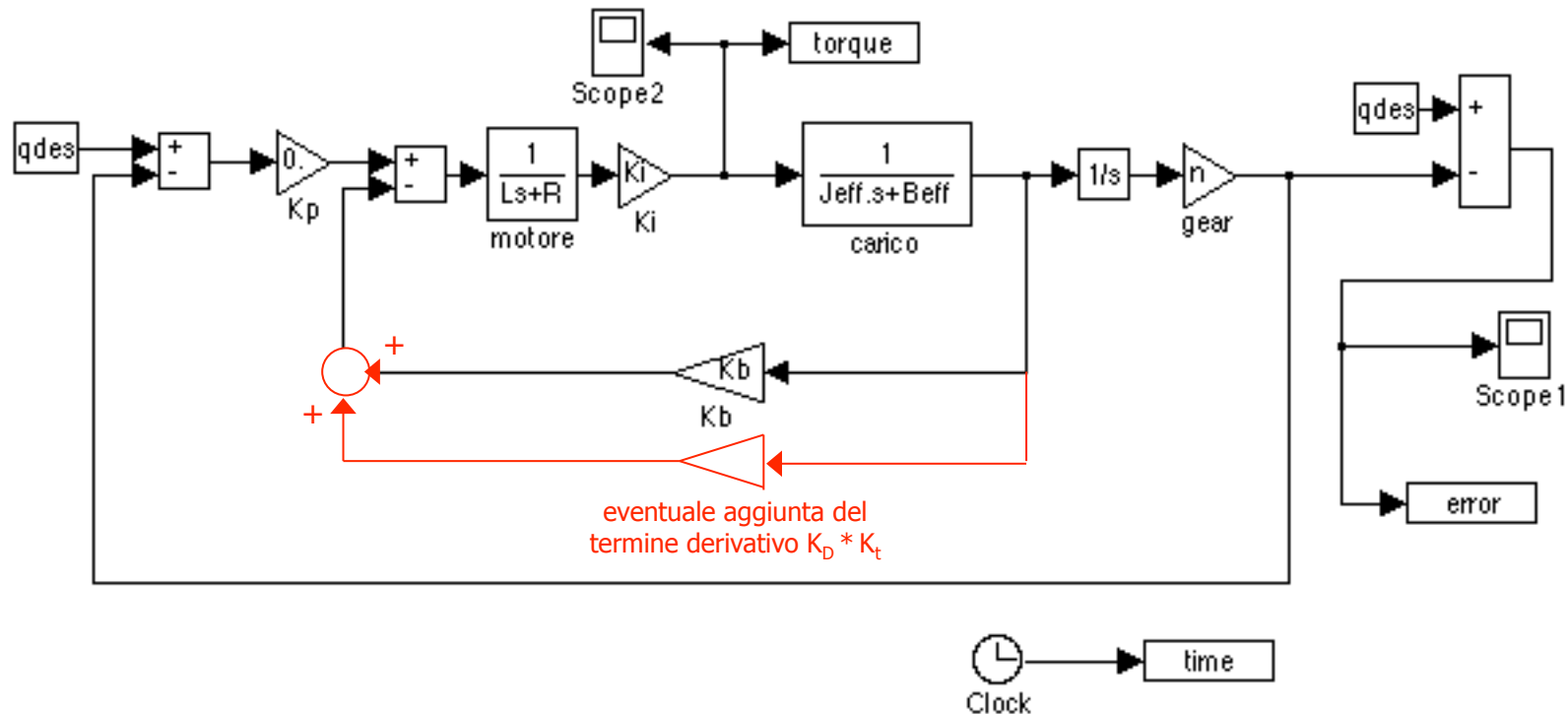


motore, dinamo tachimetrica, encoder ottico



Simulazioni

Schema e controllo P/PD

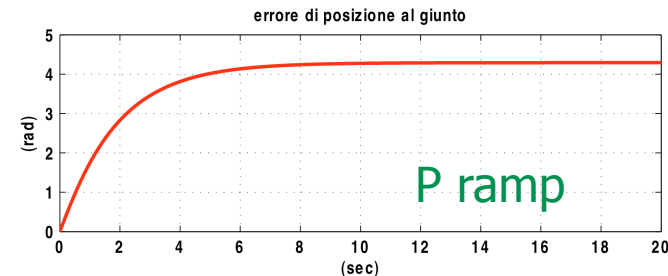
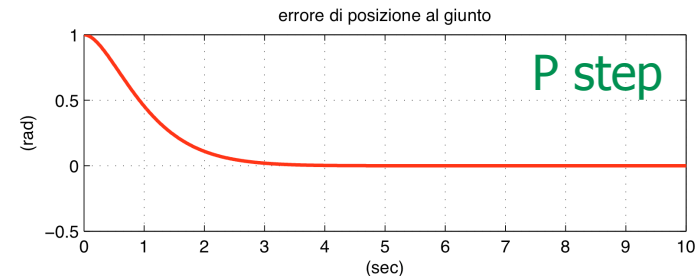


- guadagno solo proporzionale: $K_p = 4.2$ (il valore **massimo** che garantisce un transitorio **privo di oscillazioni**)
- in presenza del termine derivativo: $K_p = 209$, $K_D = 15.4$ (tali da fornire un comportamento transitorio con \approx **smorzamento critico**)

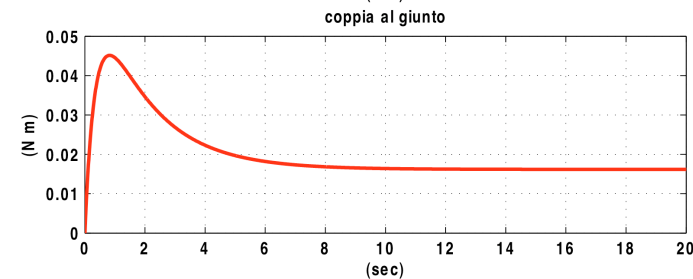
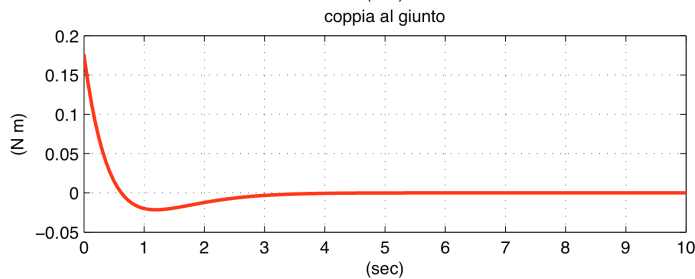


Simulazioni

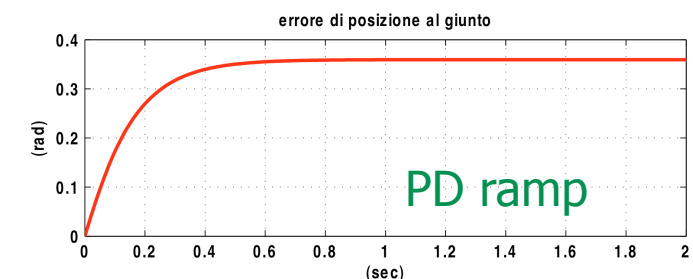
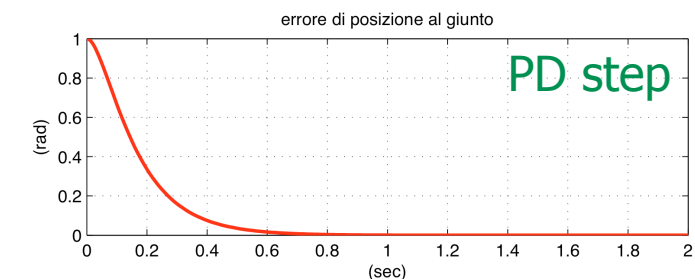
Controllo P e PD (su gradino 1 rad e rampa 2 rad/s)



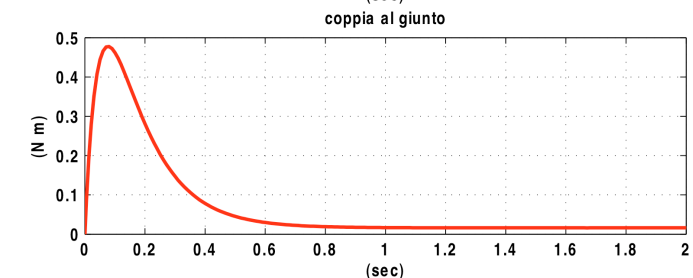
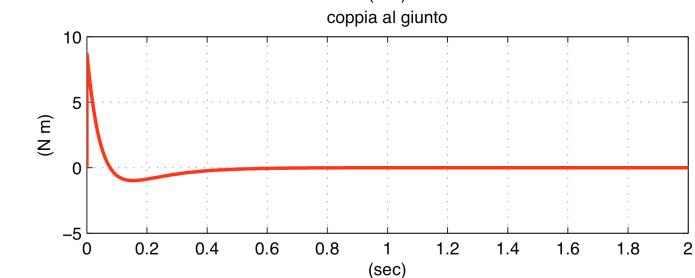
errore di
posizione



coppia di
controllo



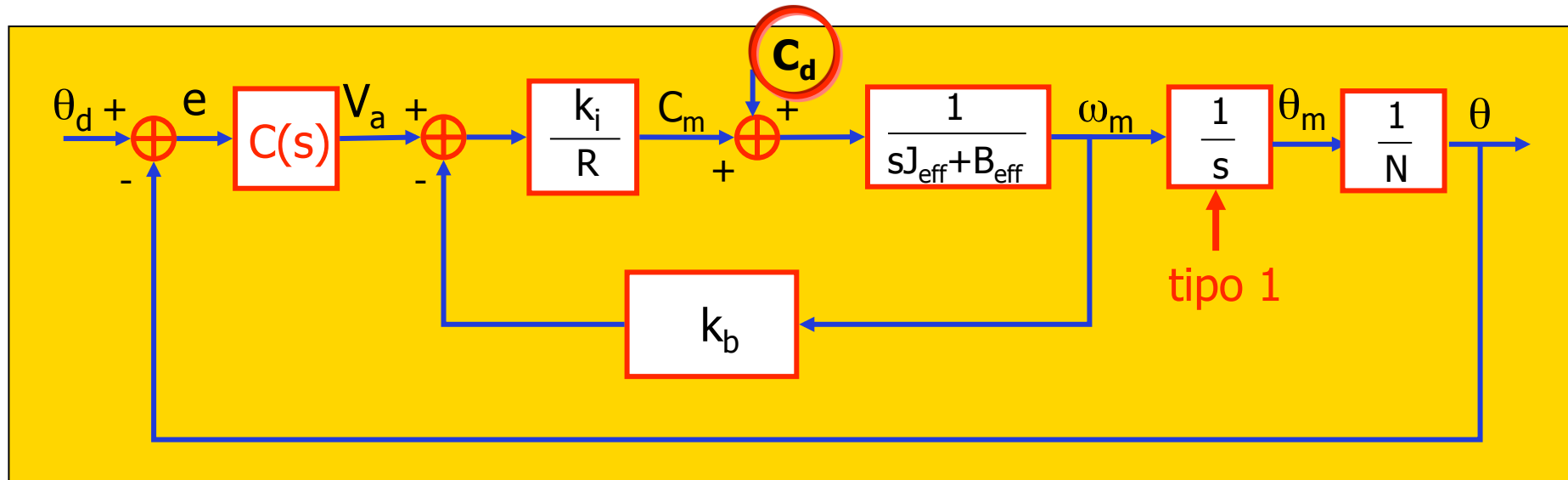
errore di
posizione



coppia di
controllo



Caso generale (n giunti)



C_d = coppia di disturbo dovuta ad accoppiamenti inerziali con gli altri giunti, effetti centrifughi e di Coriolis, e gravità (dipende dalla sola posizione)

per ottenere almeno un comportamento *astatico*, ovvero errore a regime permanente nullo per *disturbi costanti* (caso di robot fermo, ma sotto gravità), serve un *integratore* a monte del disturbo

➔ $C(s)$ = controllore PID



Controllore PID

- $C(s) = K_p + K_I/s + K_D s$
 - l'azione derivativa deve essere filtrata in alta frequenza per la sua realizzabilità fisica
- funzione di trasferimento ad anello chiuso

$$\frac{\theta(s)}{\theta_d(s)} = \frac{(K_D s^2 + K_P s + K_I) k_i}{NRJ_{\text{eff}} s^3 + (NRB_{\text{eff}} + Nk_b k_i + K_D k_i)s^2 + k_i K_P s + k_i K_I}$$

- **asintotica stabilità** se e solo se (criterio di Routh)

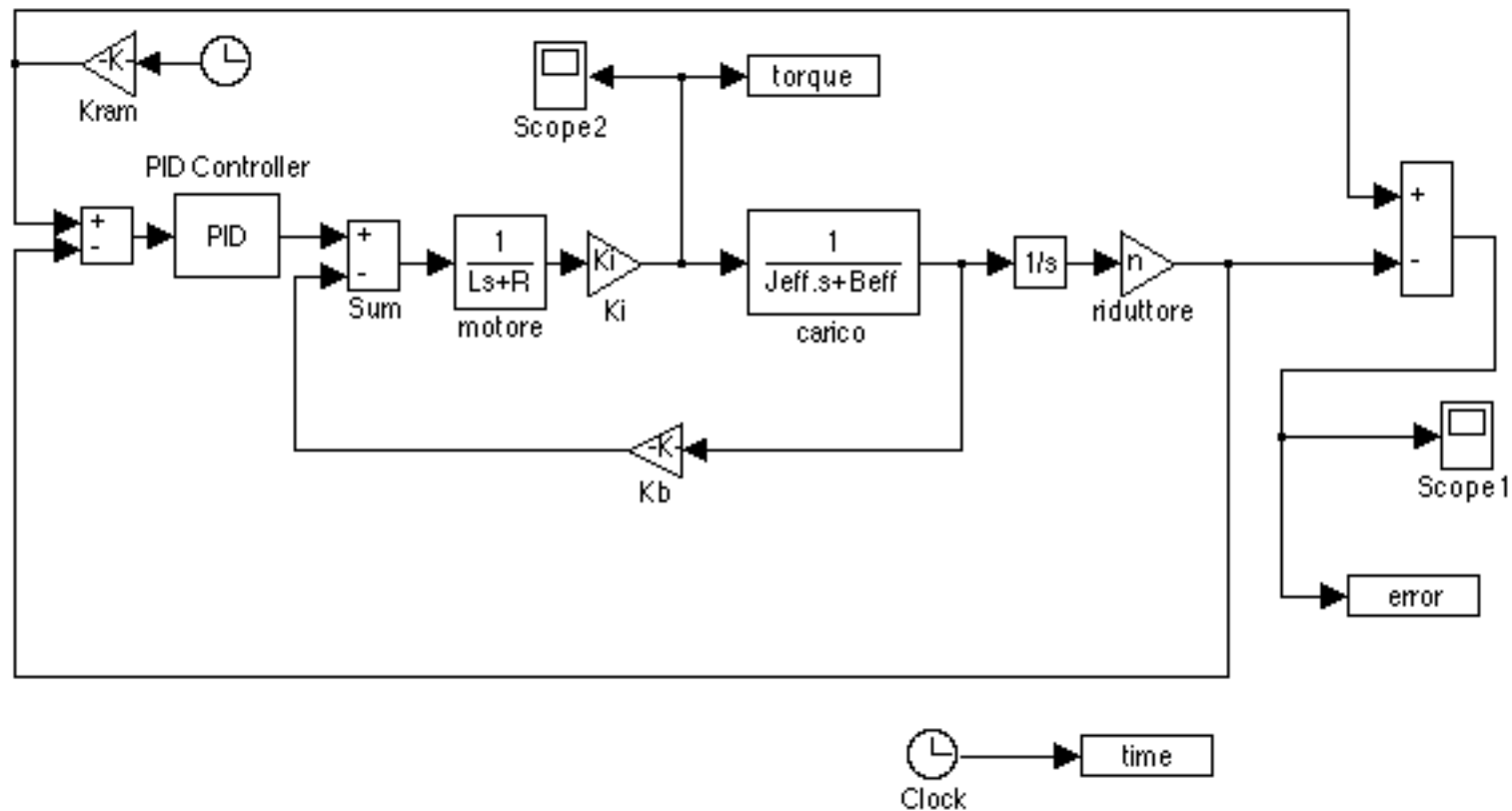
$$0 < K_I < \underbrace{K_P/RJ_{\text{eff}}}_{> 0} \underbrace{(RB_{\text{eff}} + K_D k_i/N + k_b k_i)}_{> 0}$$

- sistema di controllo di **tipo 2** e **astatico** rispetto al disturbo



Simulazioni

Schema e controllo PID

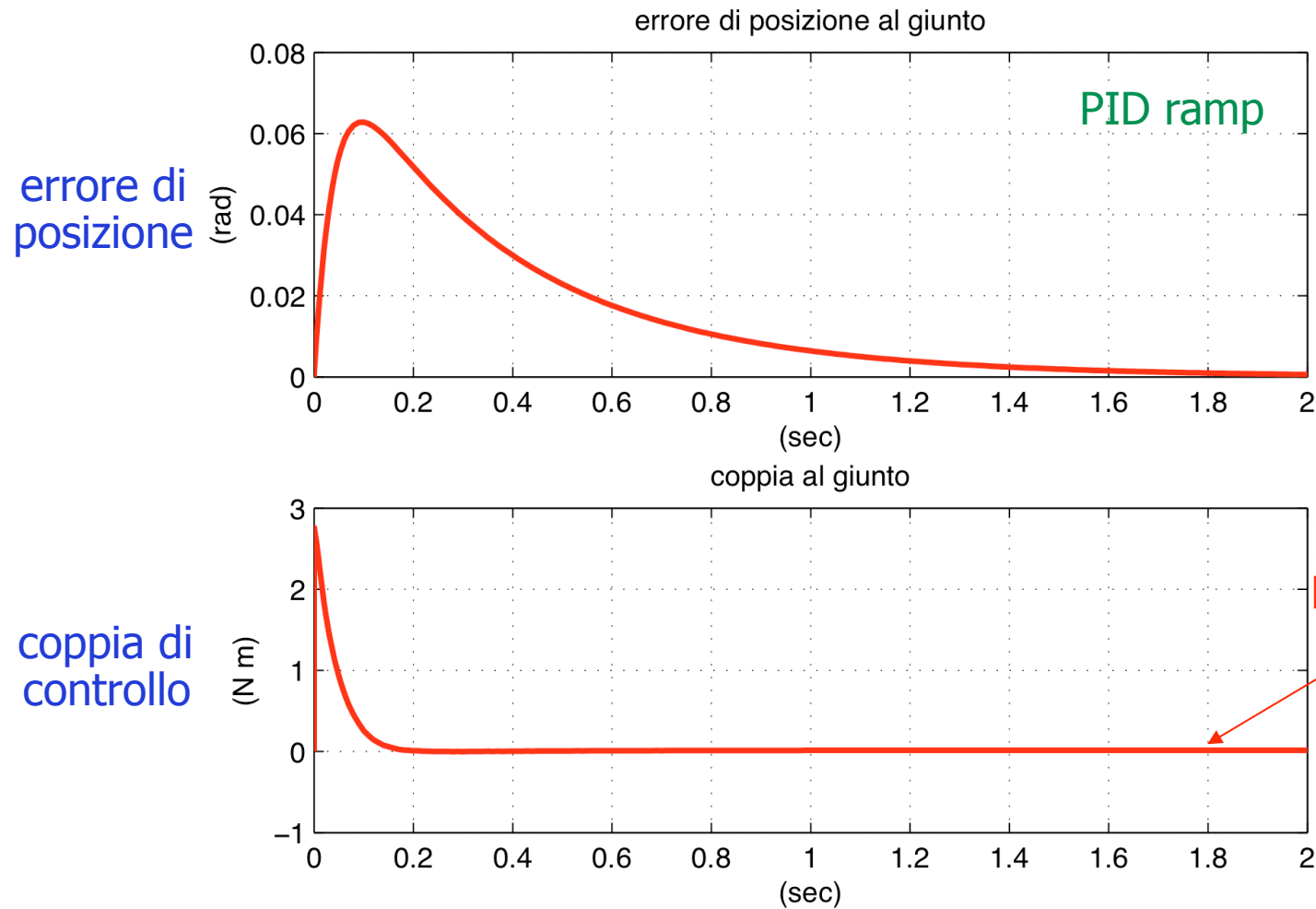


- guadagni dopo "tuning": $K_p = 209$ (come per PD), $K_D = 33$, $K_I = 296$
- sistema di tipo 2 → errore nullo a regime su ingresso a rampa



Simulazioni

Controllo PID (su rampa 2 rad/s)





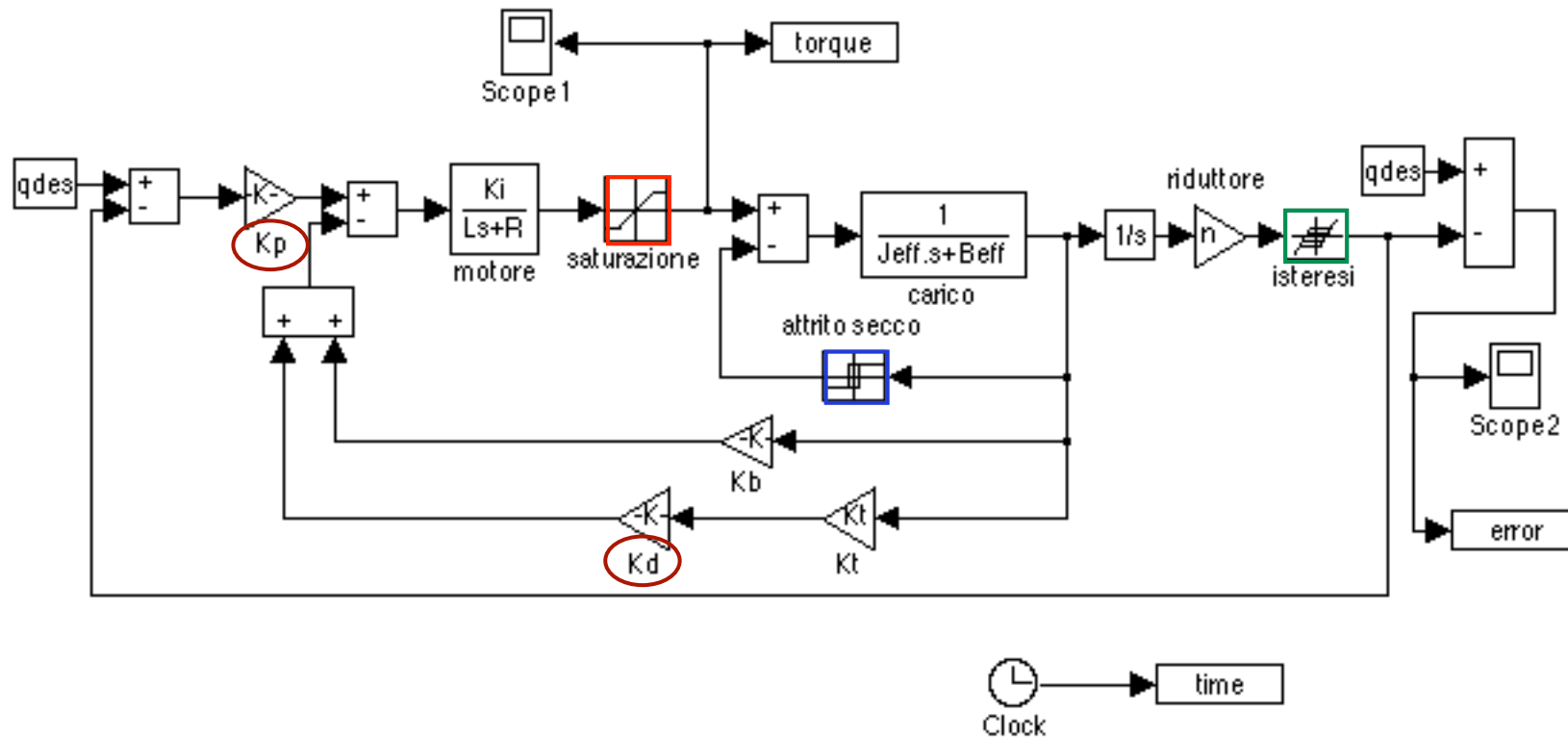
Commenti finali

- esistono inoltre **fenomeni fisici "non lineari"**, difficili da tenere in conto nel progetto del controllore
ad esempio ...
 - saturazioni degli attuatori
 - giochi delle trasmissioni (ritardi, isteresi)
 - attrito secco e di primo distacco
 - quantizzazione dei sensori (encoder)
- si possono **modellare** e **simulare** in combinazione con la legge di controllo progettata, valutando l'effettivo comportamento rispetto alla situazione ideale
- idem per le **incertezze sui valori nominali** dei parametri cinematici e dinamici



Simulazioni

Schema con fenomeni non ideali di tipo non lineare

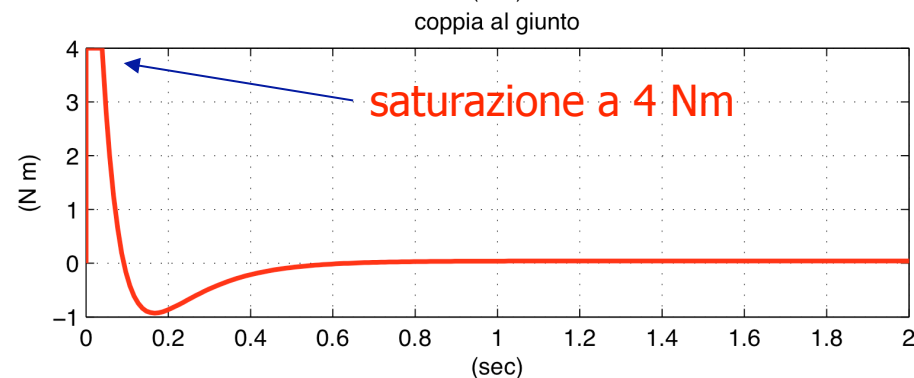
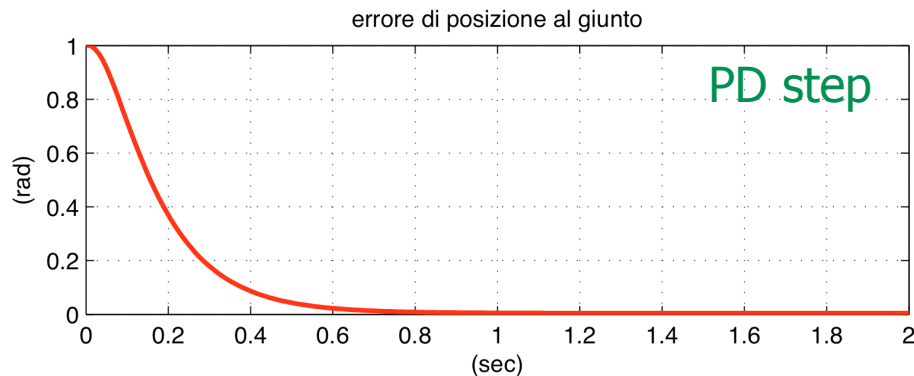


- saturazione attuatore, attrito secco, giochi nel riduttore
- qui, con legge di controllo PD



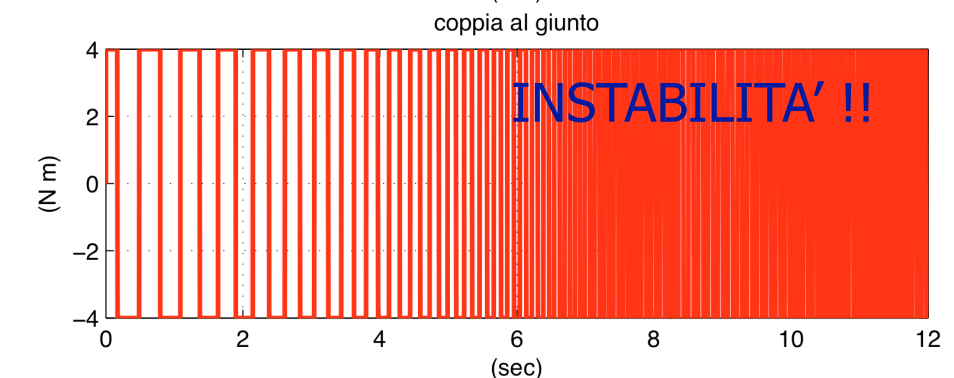
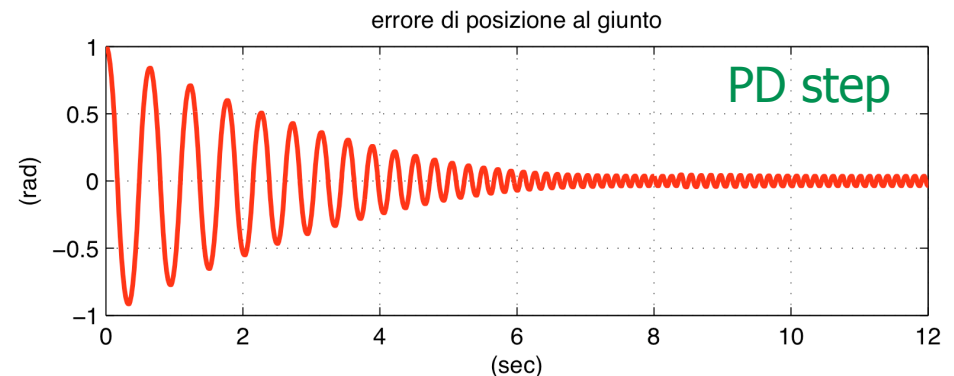
Simulazioni

Controllo PD (su gradino 1 rad) in presenza di non idealità



stessi guadagni del PD precedente

ingranaggi sempre ingaggiati
(fin dall'inizio)



con guadagno P più elevato....

ingranaggi ingaggiati all'inizio,
ma poi inversione di velocità
→ "chattering" dovuto ai giochi